

## К ТЕОРИИ ПСЕВДОЩЕЛИ В СПЕКТРЕ ЭЛЕМЕНТАРНЫХ ВОЗБУЖДЕНИЙ НОРМАЛЬНОЙ ФАЗЫ БИСЛОЙНЫХ КУПРАТОВ

*С.В.Варламов, М.В.Еремин, И.М.Еремин*

*Казанский государственный университет*

*420008 Казань, Россия*

Поступила в редакцию 18 июля 1997 г.

После переработки 11 сентября 1997 г.

Найдены решения интегральных уравнений для псевдощели в спектре элементарных возбуждений носителей тока в бислойных купратах. В общем случае псевдощель имеет симметрию типа  $s+id$ , где  $s$ -компонента определяется взаимодействием дырок через поле фононов, а  $d$  обусловлена суперобменным взаимодействием спинов меди и экранированным кулоновским отталкиванием дырок;  $s$ - и  $d$ -компоненты имеют различные температурные зависимости. Это обстоятельство позволило объяснить особенности температурного хода спиновой восприимчивости нормальной фазы слабодопированных купратов, в частности, соединения  $YBa_2Cu_4O_8$  во всем интервале температур  $T > T_c$ . Зависимость псевдощели от волнового вектора согласуется с фотоэмиссионными данными для  $Bi_2Sr_2CaCu_2O_{8+y}$ .

PACS: 74.25.Kc, 74.72.-h

Проблема электронного строения сверхпроводников на основе плоскостей  $CuO_2$  находится в центре внимания современных исследований. Недавние эксперименты по фотоэмиссии [1,2] особенно четко выявили наличие псевдощели в спектре элементарных возбуждений нормальной фазы  $Bi_2Sr_2CaCu_2O_{8+y}$  с малыми индексами допирования. Наличие псевдощели в нормальной фазе недодопированных купратов качественно объясняет аномалии многих физических свойств ВТСП [3,4], однако происхождение ее остается невыясненным. В ряде работ было высказано предположение, что псевдощель появляется вследствие неустойчивости квазифермижидкостной подсистемы к волнам зарядовой либо спиновой плотности [5]. В работе [6] происхождение псевдощели связывается со спариванием спинов, а в [7] – с сильными флуктуациями фазы обычного параметра порядка (куперовских пар), возникающих, по мнению авторов, задолго до температуры перехода в сверхпроводящее состояние.

Причины неустойчивости – взаимодействие через поле фононов, суперобменное взаимодействие спинов меди и кулоновское отталкивание дырок из-за сложности проблемы обычно анализируются порознь. Между тем интегральные уравнения на псевдощель нелинейны и, следовательно, результат одновременного рассмотрения указанных взаимодействий не очевиден.

В данной работе сообщается о первых результатах решения системы нелинейных интегральных уравнений на псевдощель при одновременном учете всех трех взаимодействий. Оказалось, что в отличие от  $s$ -типа решений для параметра порядка волн зарядовой плотности по фононному механизму [8] и  $d$ -типа решений, связанных с суперобменом [9], в общем случае решения комплексны и имеют симметрию  $s+id$ -типа. Более того, как будет показано ниже, реальная ( $s$ ) и мнимая ( $d$ ) компоненты имеют разные температурные зависимости. Критическая температура  $T_{cz}^*$  для  $d$ -компоненты может быть в несколько раз больше  $T_{ph}^*$  для  $s$ -компоненты, что позволяет нам в итоге описать температурную зависимость спиновой восприимчи-

востии бислойных купратов, в частности, для  $\text{YBa}_2\text{Cu}_2\text{O}_8$  от  $T_c = 82 \text{ K}$  до  $T \approx 700 \text{ K}$ . Последняя, как известно, наиболее точно измеряется методом ЯМР через сдвиг Найта на ядрах меди  $\text{Cu}(2)$ .

В работе [10] было найдено, что фотоэмиссионные данные о спектре элементарных возбуждений бислойных купратов  $\text{YBa}_2\text{Cu}_4\text{O}_8$  и  $\text{YBa}_2\text{Cu}_3\text{O}_7$  [11] вполне могут быть описаны в рамках модели синглетно-коррелированного движения дырок кислорода. Зависимость энергии квазичастиц от волнового вектора достаточно точно может быть также представлена в эквивалентной [10] двухзонной модели [12,13] в следующем виде:

$$\epsilon_k = 1/2(E_k^{dd} + E_k^{pp}) + 1/2[(E_k^{dd} - E_k^{pp})^2 + 4E_k^{pd}E_k^{dp}]^{1/2}, \quad (1)$$

где

$$E_k^{pp} = \epsilon_p - t_{ab} + \sum_m \left\{ \left[ P_p + \frac{1}{P_p} \langle S_i S_m \rangle \right] t_{im}^{(p)} - \frac{K_{im} + J_{im}/2}{P_p} \langle \Psi_i^{pd,\uparrow} \Psi_m^{\uparrow,pd} \rangle \right\} \exp(ikR_{im}), \quad (2)$$

$$E_k^{pd} = \sum_m \left[ P_d - \frac{1}{P_p} \langle S_i S_m \rangle \right] t_{im}^{(pd)} \exp(ikR_{im}), \quad (3)$$

а выражения для  $E_k^{dd}$  и  $E_k^{dp}$  получаются из приведенных  $E_k^{pp}$  и  $E_k^{pd}$  путем замены индексов  $p$  на  $d$  и корреляционной функции  $\langle \Psi_i^{pd,\uparrow} \Psi_m^{\uparrow,pd} \rangle$  на  $\langle \Psi_i^{\uparrow,0} \Psi_m^{0,\downarrow} \rangle$ . Как и в [12,13], Хаббардовского типа операторы  $\Psi_i^{pd,\uparrow}$  ( $\Psi_i^{\uparrow,pd}$ ) и  $\Psi_i^{\uparrow,0}$  ( $\Psi_i^{0,\downarrow}$ ) соответствуют рождению (уничтожению) квазичастиц в синглетной и медной зонах, соответственно. Средние значения антикоммуторов равны  $P_p = (2 + \delta)/4$  и  $P_d = (2 - \delta)/4$ , где  $\delta$  – число дырок проводимости в расчете на одну элементарную ячейку в бислое  $\text{Cu}_2\text{O}_4$ .  $K_{im}$  и  $J_{im}$  – параметры кулоновского и суперобменного взаимодействий, определяемых выражениями вида

$$H_{Co} = \sum_{i>j} K_{ij} (1 - \Psi_i^{pd,pd} - \Psi_i^{0,0}) (1 - \Psi_i^{pd,pd} - \Psi_j^{0,0}), \quad (4)$$

$$H_{Ex} = \sum_{i>j} J_{ij} \left[ (S_i S_j) - \frac{n_i n_j}{4} \right], \quad (5)$$

где  $n_i = \Psi_i^{\uparrow,\uparrow} + \Psi_i^{\downarrow,\downarrow}$  – число спинов на один узел подрешетки меди.

Выражения (1) – (3) описывают дисперсию синглетной связывающей (нечетной) зоны. В случае антисвязывающей (четной) зоны в (2) параметр туннелирования  $-t_{ab}$  заменяется на  $+t_{ab}$ .

Оцененные в [12] относительные значения интегралов переноса (в мэВ) между первыми, вторыми и третьими соседями равны:  $t_1^{(p)} = 82$ ,  $t_2^{(p)} = 3$ ,  $t_3^{(p)} = 12$ ,  $t_1^{(d)} = 79$ ,  $t_2^{(d)} = 7$ ,  $t_3^{(d)} = 10$ ,  $t_1^{(pd)} = 83$ ,  $t_2^{(pd)} = 6$ ,  $t_3^{(pd)} = 12$ . Диэлектрическая щель и спиновые корреляторы приняты равными  $\epsilon_p - \epsilon_d = 1.4 \text{ эВ}$ ,  $\langle S_i S_j \rangle_1 = -0.14$ ,  $\langle S_i S_j \rangle_2 = 0.07$ ,  $\langle S_i S_j \rangle_3 = 0.09$ . Указанные величины хорошо описывают форму ферми-поверхности (рис.1), измеренную недавно методами фотоэмиссии [14,15]. Это обстоятельство дает нам твердую основу для анализа температурной зависимости функции отклика и псевдощели, которые, как известно [16], сильно зависят от формы ферми-поверхности. Рассчитанная нами при  $\delta = 0.33$  (рис.1), она хорошо согласуется

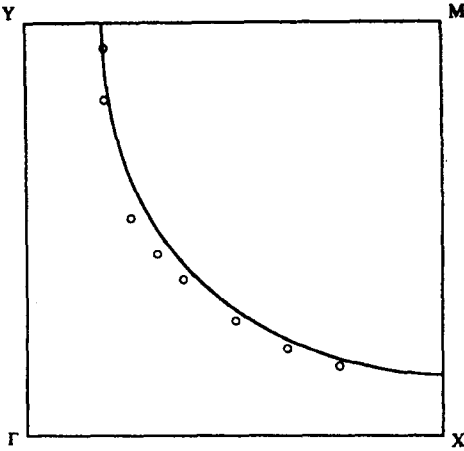


Рис.1. Форма ферми-поверхности в отсутствие псевдощели для  $\text{Bi}_2\text{Sr}_2\text{CaCu}_2\text{O}_{8+y}$ . Кружки – экспериментальные точки из [16], кривая – рассчитанная форма

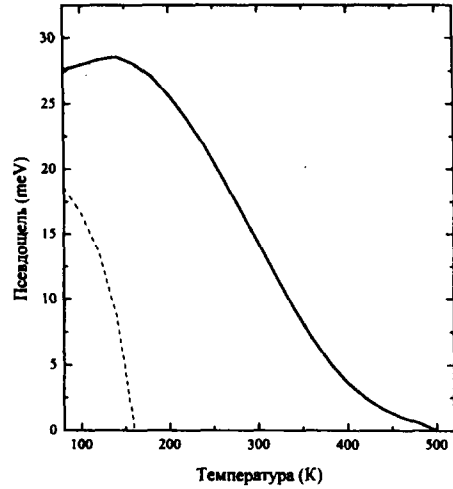


Рис.2. Зависимость псевдощели от температуры. Сплошная линия –  $D(T)$ , пунктирная линия –  $A(T)$

с экспериментальными данными для  $\text{Bi}_2\text{Sr}_2\text{CaCu}_2\text{O}_{8+y}$  [15]. Параметр тунnelирования  $-t_{ab} = 50$  мэВ был выбран с учетом фотоэмиссионных данных [14,17,18].

Важная особенность связывающей синглетной зоны заключается в том, что ее спектральный вес зависит от допирования  $\delta$  как  $4\delta/(2 + \delta)$  и, следовательно, условие половинного заполнения имеет место при  $\delta = 2/7$ , что качественно объясняет необычное поведение фазовой диаграммы  $T_c$  и  $T^*$  как функции допирования [3].

Численный расчет функции отклика дал результат, аналогичный [16]. Он показал, что при описанной выше анизотропии поверхности Ферми она имеет максимум при  $Q_x = \pm\pi/a$ ,  $Q_y = \pm\pi/a$ , то есть система носителей тока имеет нестабильность пайерлсовского типа. Спектр элементарных возбуждений в таких условиях модифицируется к виду

$$E_{1k,2k} = \frac{\epsilon_k + \epsilon_{k+Q}}{2} \pm \frac{1}{2} [(\epsilon_k - \epsilon_{k+Q})^2 + 4|G_{ph}(k, T) + G_{ex}(k, T)|^2]^{1/2}. \quad (6)$$

Уравнение на фоновую компоненту щели,  $G_{ph}(k, T)$ , имеет вид, характерный для волн зарядовой плотности [8, 19]:

$$G_{ph}(k, T) = -\frac{P_p}{N} \sum_{k_1} V_{k_1, Q} \langle \Psi_{k_1+Q}^{pd, \uparrow} \Psi_{k_1}^{\uparrow, pd} \rangle - V_{k, Q} \frac{P_p}{N} \sum_{k_1} \langle \Psi_{k_1+Q}^{pd, \uparrow} \Psi_{k_1}^{\uparrow, pd} \rangle. \quad (7)$$

Появление множителя  $P_p$  в (7) связано с отличием антикоммутиров квазифермиевских операторов от единицы;  $V_{k, Q}$  – потенциал взаимодействия через фоновую моду  $\omega_Q$  [8]:

$$V_{k, Q} = \frac{2|V(Q)|^2 \hbar \omega_Q}{(\hbar \omega_Q)^2 - (\epsilon_k - \epsilon_{k+Q})^2} \Theta(\hbar \omega_D - |\epsilon_k - \epsilon_{k+Q}|), \quad (8)$$

где  $\omega_D$  – частота Дебая,  $\Theta(x)$  – тета-функция,  $V(Q)$  – константа взаимодействия с фоновой модой. В [5, 19] отмечалось, что в пайерлсовском переходе наиболее активно участвует дыхательная мода  $\omega_D = 45$  мэВ атомов кислорода в плоскостях  $\text{CuO}_2$ .

Суперобменная компонента щели  $G_{ex}(k, T)$  определяется выражением

$$G_{ex}(k, T) = -\frac{1}{P_p N} \sum_{k_1} [J(k_1 - k) + 2K(k_1 - k)] \langle \Psi_{k_1+Q}^{pd,\uparrow} \Psi_{k_1}^{\uparrow,pd} \rangle. \quad (9)$$

Здесь  $J(q)$  и  $K(q)$  – фурье-образы суперобменного и кулоновского взаимодействия, соответственно. В частности,  $J(q) = J_1(\cos q_x a + \cos q_y a)$ , где  $J_1$  – константа суперобменной связи между ближайшими соседями ионов меди в плоскости  $\text{CuO}_2$ .

Температурная зависимость  $G_{ph}(k, T)$  и  $G_{ex}(k, T)$  рассчитывается самосогласованно из (7) и (9). Корреляционная функция  $\langle \Psi_{k+Q}^{pd,\uparrow} \Psi_k^{\uparrow,pd} \rangle$  определяется формулой

$$\langle \Psi_{k_1+Q}^{pd,\uparrow} \Psi_{k_1}^{\uparrow,pd} \rangle = P_p \frac{G_{ph}(k, T) + G_{ex}(k, T)}{\epsilon_{1k} - \epsilon_{2k}} [f(\epsilon_{1k}) - f(\epsilon_{2k})]. \quad (10)$$

Численные решения системы уравнений (7), (9) показывают, что при интересующих нас  $\delta = 0.1 - 0.3$  зависимость функции псевдощели от волнового вектора представляется в виде

$$G(k, T) = A(T) + B(T) \frac{(\hbar\omega_Q)^2 \Theta(\hbar\omega_D - |\epsilon_k - \epsilon_{k+Q}|)}{(\hbar\omega_Q)^2 - (\epsilon_k - \epsilon_{k+Q})^2} + iD(T)[\cos k_x a - \cos k_y a]. \quad (11)$$

Температурная зависимость величин  $A(T)$  и  $D(T)$  при  $|V(Q)| = 80$  мэВ,  $\hbar\omega_Q = 40$  мэВ,  $J_1 + 2K_1 = 210$  мэВ представлена на рис.2. Отношение  $A(T)/B(T) = 0.73$ . Отметим, что рассчитанная нами критическая температура  $T_{ph}^* \approx 170$  К совпадает с температурой появления аномалий, связанных с решеткой (смягчение фононных мод в рамановском спектре [20], изменения в частотах ЯКР [21, 22] и др.), которые в [19] интерпретируются как проявление волн зарядовой плотности в кристалле  $\text{YBa}_2\text{Cu}_4\text{O}_8$ .

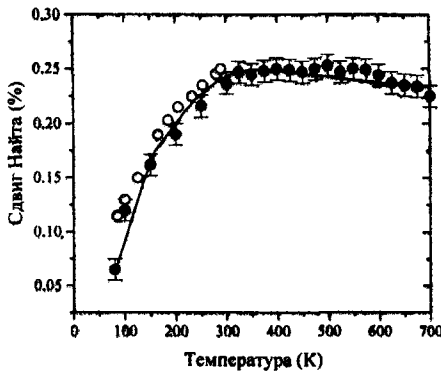


Рис.3. Температурная зависимость сдвига Найта для  $\text{Cu}(2)$  (магнитное поле  $\perp$  оси  $z$ ) в  $\text{YBa}_2\text{Cu}_4\text{O}_8$ . Линия – рассчитанная кривая, кружки – экспериментальные данные (заполненные из [24], незаполненные – согласно [23])

На рис.3 приведен рассчитанный нами сдвиг Найта на ядрах меди  $\text{Cu}(2)$  в  $\text{YBa}_2\text{Cu}_4\text{O}_8$  при  $\delta = 0.29$ . Экспериментальные данные взяты из работ [23, 24]. Слабое проявление  $T_{ph}^*$  видно и на этом графике. По сравнению с ферми-жидкостными картинками точка фазового перехода сильно замаскирована температурной зависимостью  $G_{ex}(k, T)$ . Разброс критической температуры из-за флуктуаций не является определяющим в данном случае. В случае  $G_{ex}(k, T) = 0$  излом  $K_s(T)$  при  $T_{ph}^*$  становился бы более резким и при  $T > T_{ph}^*$  сдвиг Найта не зависел бы от температуры.

Как видно из рис.3, наличие псевдощели  $G_{ez}(k, T)$  хорошо объясняет нетривиальную температурную зависимость  $K_s(T)$  во всем интервале температур  $T > T_{ph}^*$ .

Зависимость псевдощели (11) от волнового вектора  $T > T_{ph}^*$  согласуется с фотоэмиссионными данными для  $Bi_2Sr_2CaCu_2O_{8+y}$  [1, 2, 25], согласно которым псевдощель в спектре элементарных возбуждений нормальной фазы приближенно описывается формулой вида  $c(\cos k_x a - \cos k_y a)$ , то есть имеет симметрию  $d$ -типа. Как видно из рис.2, это заключение должно быть абсолютно точным для образцов с  $T > T_{ph}^*$ , в то время как для  $T_c < T < T_{ph}^*$  компонента псевдощели  $s$  - типа также должна быть вполне заметной. Это предсказание теории интересно было бы проверить экспериментально.

В заключение отметим, что хотя в данной работе обсуждались лишь бислойные купраты, наше заключение о  $s + id$ -симметрии псевдощели носит общий характер и остается, в частности, справедливым для моно- и трехслойных ВТСП при соответствующих уровнях допирования. В недавней работе [26] по исследованию фотоэмиссии монослойных купратов  $Bi_2Sr_2Ca_{1-x}Dy_xCu_2O_{8+y}$  подчеркивается, что общие функциональные зависимости псевдощели и сверхпроводящей щели, пропорциональные  $(\cos k_x a - \cos k_y a)$ , указывают на общность их происхождения. Результаты настоящей работы не противоречат этому выводу. В работе [27] путем численного решения уравнения БКШ показано, что любые короткодействующие потенциалы с фурье-образами, пропорциональными  $(\cos k_x a + \cos k_y a)$  (в первую очередь это суперобмен ближайших спинов меди), при не очень малых степенях допирования всегда ведут к спариванию  $d$ -типа;  $d$ -компонента в нашем решении для псевдощели (и  $T_{ex}^*$ ) также результат короткодействия. Из уравнения (9) видно, что в случае псевдощели суперобменное и экранированное кулоновское взаимодействия усиливают друг друга. В случае же сверхпроводящей щели ситуация обратная. Это обстоятельство качественно объясняет, почему  $T_{ex}^*$  в недодопированных купратах выше, чем  $T_c$ , хотя потенциал их происхождения общий - короткодействующий. Более подробно этот вопрос будет обсуждаться в отдельной работе.

С.В.В. и И.М.Е. благодарны международной Соросовской программе "Соросовские аспиранты" (гранты а97-2930 и а97-1981) за финансовую поддержку.

- 
1. H.Ding, T.Yokoya, J.C.Campuzano et al., Nature **382**, 51 (1996).
  2. A.G.Loester, Z.-X.Shen, D.S.Dessau et al., Science **273**, 325 (1996).
  3. G.V.M.Williams, J.L.Tallon, E.M.Haines et al., Phys. Rev. Lett. **78**, 721 (1997).
  4. D.Pines, in Proc. High-Temp. Supercond. (MS-HTSC V), Beijing, Feb. 28-Mar. 4, 1997, Physica (North-Holland) C, (to be published).
  5. R.S.Markiewicz, Physica (North-Holland) C **193**, 323 (1992); J. Phys. Chem. Solid, in press.
  6. X.-G.Wen and P.A.Lee, Phys. Rev. Lett. **76**, 503 (1996).
  7. V.J.Emery and S.A.Kivelson, Nature **374**, 434 (1995).
  8. C.A.Balseiro and L.M.Falicov, Phys. Rev. B **20**, 4457 (1979).
  9. I.Eremin and M.Eremin, J. Superconductivity **10**, 459 (1997).
  10. М.В.Еремин, С.Г.Соловьянов, С.В.Варламов и др., Письма в ЖЭТФ **60**, 118 (1994).
  11. K.Gofron, J.C.Campuzano, H.Ding et al., J. Phys. Chem. Solids **54**, 1193 (1993).
  12. M.V.Eremin, S.G.Solovjanov, and S.V.Varlamov, J. Phys. Che. Solids **56**, 1713 (1995); М.В.Еремин, С.Г.Соловьянов, С.В.Варламов, ЖЭТФ (1997), в печати.
  13. N.M.Plakida, R.Nayn, and J.L.Richard, Phys. Rev. B **51**, 16599 (1995).
  14. M.S.Shabel, C.-H.Park, A.Matsuura et al., Phys. Rev. B **55**, 2796 (1997).
  15. H.Ding, N.R.Norman, T.Yokoya et al., Phys. Rev. B (to be published).
  16. G.Gruner, Density Waves in Solids, Addison-Wesley Publ. Corp., 1994.

17. Z.-X. Shen and J.R. Schrieffer, Phys. Rev. Lett. **78**, 1771 (1997).
18. M.R. Norman, H. Ding, J.C. Campuzano et al., Phys. Rev. **B** (to be published).
19. I. Eremin, M. Eremin, S. Varlamov et al., Phys. Rev. **B** **56**, N17 (1997).
20. A.P. Litvinchuk, C. Thomsen, and M. Cardona, Solid State Commun. **83**, 343 (1992).
21. A. Suter, D. Brinkmann, M. Mali, and J. Ross, Phys. Rev. **B** **8** (1997). (to be published).
22. М.А. Теплов, Е.В. Крюков, А.В. Дуглав и др., Письма в ЖЭТФ **63**, 214 (1996).
23. M. Bankay, M. Mali, J. Roos, and D. Brinkmann, Phys. Rev. **B** **50**, 6416 (1994).
24. N.J. Curro, T. Imai, C.P. Slichter, and B. Dabrowski, Phys. Rev. **B** **56**, 877 (1997).
25. J.M. Harris, Z.X. Shen, P.J. White et al., Phys. Rev. **B** **54**, 15665 (1996).
26. J.M. Harris, P.J. White, Z.-X. Shen et al., Phys. Rev. Lett. **79**, 499 (1997).
27. М.Еремин, И.Ларионов, Письма в ЖЭТФ **62**, 192 (1995).